

Definizione 20.1 (DIFFEOMORFISMO) *Dati due insiemi $A, B \subseteq \mathbb{R}^n$, si chiama diffeomorfismo un'applicazione $f: A \rightarrow B$ differenziabile e invertibile, con inversa differenziabile. In tal caso si dice che A e B sono diffeomorfi e che f è un diffeomorfismo di classe C^k se f e la sua inversa sono di classe C^k .*

Dato uno spazio vettoriale E di dimensione n un *iperpiano* passante per $x \in E$ è un insieme di vettori applicati della forma (x, v) , al variare di v in un sottospazio di E di dimensione $n - 1$.

Definizione 20.2 (SEZIONE LOCALE) *Sia $x \in \mathbb{R}^n$ tale che $f(x) \neq 0$. Una sezione locale di f in x è un insieme aperto S di dimensione $n - 1$ contenuto nell'iperpiano π passante per x e trasverso a f , i.e. tale che il vettore applicato $(z, f(z)) \notin \pi$ per ogni $z \in S$.*

Osservazione 20.3 Se S è una sezione locale, per ogni $z \in S$ il vettore applicato $(z, f(z))$ non è contenuto nell'iperpiano che contiene S : il campo vettoriale in tutti i punti della sezione è diretto sempre “dalla stessa parte” rispetto alla sezione.

Teorema 20.4 (TEOREMA DELLA SCATOLA DI FLUSSO) *Sia dato il sistema dinamico (17.1), e sia $x_0 \in \mathbb{R}^n$ tale che $f(x_0) \neq 0$. Esiste allora un intorno $B(x_0)$ e un diffeomorfismo $\psi: B(x_0) \rightarrow B(0)$, da $B(x_0)$ a un intorno dell'origine di \mathbb{R}^n , che trasforma le soluzioni del sistema dinamico (17.1) in $B(x_0)$ nelle soluzioni del sistema dinamico*

$$\dot{x} = n_0,$$

in $B(0)$, dove n_0 è un versore costante. Se f è di classe C^k allora ψ è di classe C^k .

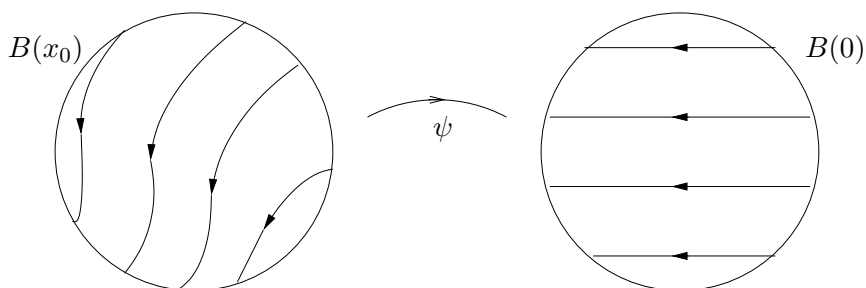


Figura 4.10: Rappresentazione schematica del significato del teorema della scatola di flusso.

Dimostrazione. Poiché $f(x_0) \neq 0$, esiste una sezione locale $S \subset \pi$, dove π è un iperpiano passante per x_0 . Scegliendo un opportuno sistema di coordinate possiamo supporre che sia $x_0 = 0$ e scrivere $\pi = \{x \in \mathbb{R}^n : x_n = 0\}$. Si ha inoltre $f_n(x_0) = a \neq 0$; possiamo senz'altro supporre che sia $a > 0$. Sia $B(x_0) = B_\delta(x_0)$ un intorno con raggio δ sufficientemente piccolo così che risulti $f_n(x) > a/2$ per ogni $x \in B_\delta(x_0)$; questo è sicuramente possibile poiché il

campo vettoriale è continuo (cfr. l'esercizio 20 del capitolo 3). La soluzione dell'equazione (17.1) con dato iniziale x si può scrivere

$$\varphi(t, x) = x + \int_0^t ds f(\varphi(s, x)). \quad (20.1)$$

Vogliamo dimostrare che è possibile scegliere l'intorno $B_\delta(x_0)$ in modo tale che esista un tempo $\tau(x)$ tale che

$$\varphi_n(\tau(x), x) = 0, \quad |\tau(x)| \leq \sigma, \quad (20.2)$$

per qualche $\sigma > 0$ e per ogni $x \in B_\delta(x_0)$. La (20.2) dice che la componente n -esima di $\varphi(t, x)$ si annulla, i.e. l'evoluto di x raggiunge la sezione S , in un tempo finito $\tau(x)$. Chiamiamo $\tau(x)$ il *tempo di attraversamento* di S del punto x (cfr. la figura 4.11).

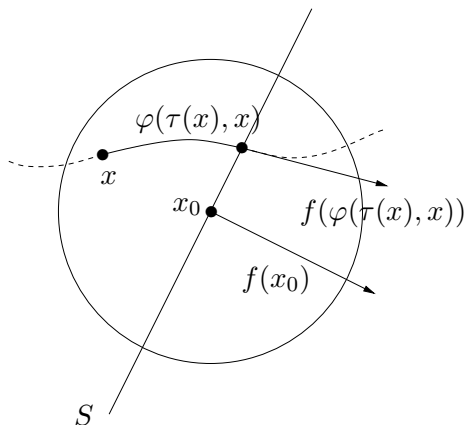


Figura 4.11: Scenario previsto nella discussione del teorema della scatola di flusso.

Definiamo la funzione

$$F(x, \tau) := x_n + \int_0^\tau ds f_n(\varphi(s, x)). \quad (20.3)$$

Per $x = x_0 = 0$ e $\tau = 0$ si ha $F(0, 0) = 0$; inoltre $[\partial F / \partial \tau](0, 0) = f_n(0) \neq 0$ per ipotesi. Per il teorema della funzione implicita (cfr. l'esercizio 36), esiste un intorno, che – eventualmente prendendo un raggio δ più piccolo – possiamo identificare con $B_\delta(x_0)$, tale che, per ogni $x \in B_\delta(x_0)$, esiste un valore $\tau = \tau(x)$ tale che $F(x, \tau(x)) = 0$. Tale condizione, data la definizione della funzione (20.3), implica la prima delle (20.2).

Si noti inoltre che si ha

$$\frac{\partial F}{\partial x_n} = 1 + \int_0^\tau ds \frac{\partial f_n}{\partial x_n}(\varphi(s, x)), \quad \frac{\partial F}{\partial \tau} = f_n(\varphi(\tau, x)),$$

così che (cfr. l'esercizio 20)

$$\left. \frac{\partial \tau(x)}{\partial x_n} \right|_{x=x_0} = - \frac{[\partial F / \partial x_n](x_0, 0)}{[\partial F / \partial \tau](x_0, 0)} = - \frac{1}{f_n(x_0)} \neq 0. \quad (20.4)$$

Inoltre, sempre dal teorema della funzione implicita, segue che $\tau(x)$ è una funzione di classe C^k di x , se f è di classe C^k (cfr. l'esercizio 36).

È immediato verificare inoltre che esiste $\sigma > 0$ tale che $|\tau(x)| \leq \sigma$ per ogni $x \in B_\delta(x_0)$, ragionando come segue. Supponiamo per assurdo che questo non sia vero. Allora dovrebbe esistere un valore $\sigma > 0$ e un punto $z \in B_\delta(x_0)$ tali che $|\tau(z)| > \sigma$. Per tale z , in

$$F(z, \tau(z)) = z_n + \int_0^{\tau(z)} ds f_n(\varphi(s, z)),$$

potremmo stimare

$$|z_n| < |z| < \delta, \quad \left| \int_0^{\tau(z)} ds f_n(\varphi(s, z)) \right| > \left| \int_0^{\tau(z)} ds \frac{a}{2} \right| > \frac{a\sigma}{2},$$

che però implicherebbe $F(z, \tau(z)) \neq 0$ non appena fosse $\sigma > 2\delta/a$, in contraddizione con la definizione di $\tau(z)$ per $z \in B_\delta(x_0)$. In particolare si vede che si deve avere $\sigma < \sigma_0 = 2\delta/a$.

Consideriamo il cambiamento di coordinate $\psi: (x_1, \dots, x_n) \rightarrow (y_1, \dots, y_n)$ definito da

$$\begin{cases} y_i = \psi_i(x) = \varphi_i(\tau(x), x), & i = 1, \dots, n-1, \\ y_n = \psi_n(x) = \tau(x), \end{cases} \quad (20.5)$$

per $x \in B_\delta(x_0)$; geometricamente y_i , per $i \leq n-1$, è la coordinata i -esima su S del punto in cui $\varphi(t, x)$ attraversa S . Per il teorema 12.8 (teorema della dipendenza differenziabile dai dati iniziali), se f è di classe C^k allora le funzioni ψ_i , $i = 1, \dots, n-1$, sono di classe C^k . Per dimostrare che il cambiamento di coordinate ψ è un'applicazione invertibile con inversa di classe C^k (in un intorno di x_0) è sufficiente dimostrare che la matrice jacobiana è non singolare (cfr. gli esercizi 37 e 38). Per $i \leq n-1$ si ha

$$\begin{aligned} \left. \frac{\partial \psi_i}{\partial x_j} \right|_{x=x_0} &= \left. \frac{\partial}{\partial x_j} \varphi_i(\tau(x), x) \right|_{x=x_0} \\ &= \delta_{ij} + \int_0^{\tau(x)} ds \left. \frac{\partial}{\partial x_j} f_i(\varphi(s, x)) \right|_{x=x_0} + f_i(\varphi(\tau(x), x)) \left. \frac{\partial}{\partial x_j} \tau(x) \right|_{x=x_0} = \delta_{ij}, \end{aligned} \quad (20.6)$$

poiché ψ_i è la i -esima componente di (20.1), $\tau(x_0) = 0$ e $f_i(x_0) = 0$ per $i < n$. Le (20.4) e (20.6) implicano che la matrice jacobiana $J_{ij} = [\partial \psi_i / \partial x_j](x_0)$ associata al cambiamento di

variabili (20.4) ha la forma

$$J = \begin{pmatrix} 1 & 0 & 0 & \dots & 0 & 0 \\ 0 & 1 & 0 & \dots & 0 & 0 \\ \dots & \dots & \dots & \dots & \dots & \dots \\ J_{n1} & J_{n2} & J_{n3} & \dots & J_{n(n-1)} & -[f_n(x_0)]^{-1} \end{pmatrix} \quad (20.7)$$

dove $J_{nn} = -1/f_n(x_0)$ per la (20.4), mentre gli elementi indicati con J_{nj} , $j = 1, \dots, n-1$, non sono esplicitati perché è inutile calcolarli: infatti, quale che sia la loro forma, segue immediatamente dalla (20.7) che $\det J = -[f_n(x_0)]^{-1}$ e quindi la matrice jacobiana è non singolare. Questo, unito ai commenti precedenti, implica che il cambiamento di coordinate (20.5) è invertibile e di classe C^k se f è di classe C^k .

Studiamo la forma che assumono le equazioni (17.1) nelle nuove coordinate (20.4). Per costruzione si ha

$$\begin{aligned} \psi_i(\varphi(t, x)) &= \varphi_i(\tau(\varphi(t, x)), \varphi(t, x)) = \varphi_i(\tau(x) - t, \varphi(t, x)) \\ &= \varphi_i(\tau(x), \varphi(-t + t, x)) = \varphi_i(\tau(x), x) = \psi_i(x), \end{aligned}$$

per $i = 1, \dots, n-1$, e

$$\psi_n(\varphi(t, x)) = \tau(\varphi(t, x)) = \tau(x) - t = \psi_n(x) - t.$$

Quindi, per t sufficientemente piccolo (in modo che le soluzioni $\varphi(t, x)$ di (17.1) con dati iniziali in $B_\delta(x_0)$ non escano da $B_\delta(x_0)$), si ha

$$\begin{cases} y_i(t) = \psi_i(\varphi(t, x)) = \psi_i(x) = y_i(0), & i = 1, \dots, n-1, \\ y_n(t) = \psi_n(\varphi(t, x)) = \psi_n(x) - t = y_n(0) - t, \end{cases} \quad (20.8)$$

così che il flusso è della forma (20.1) con $n_0 = (0, 0, \dots, 0, -1)$, come è immediato verificare semplicemente derivando le (20.8) rispetto al tempo. ■

Nota bibliografica Per gli argomenti trattati nel presente capitolo abbiamo seguito prevalentemente [Hirsch & Smale, Cap. 9] e [Dell'Antonio, Cap. III]. In particolare, i §§17, 19 e 20 seguono da vicino [Dell'Antonio], mentre il §18, tranne che per l'esempio 18.9, preso da [Dell'Antonio], è più simile alla trattazione svolta in [Hirsch & Smale]. L'esempio discusso nell'osservazione 19.24 è preso da [Dell'Antonio, Cap. III]. Per il teorema di Četaev si veda [Khalil, Cap. 4] e, specie per le applicazioni ai sistemi meccanici conservativi, [Rouche *et al.*, Cap. III].

Per i risultati di analisi matematica nei §§17 e 19, si veda [Giusti-1, Capp. 2 e 3]; per le definizioni e le proprietà del massimo e del minimo limite, in particolare, rimandiamo a [Giusti-1, Cap. 2]. Per la dimostrazione del teorema della funzione implicita (cfr. gli esercizi 3÷6) si è seguito [de Oliveira]; per una diversa dimostrazione, basata sul principio delle contrazioni e sul teorema della funzione inversa, si può vedere, per esempio, [Rudin, Cap. 9].